

Электризация металлических образцов при изменении их температуры или механических деформациях

Ф. Ф. Менде

Существует большое количество диагностических методов исследования свойств материалов и образцов. Но от взгляда исследователей пока ускользнул перспективный метод, основанный на исследовании электростатического потенциала таких образцов. Этот метод заключается в том, что при нагревании или деформации металлических образцов на них возникает электрический потенциал. В работе проведено экспериментальное исследование этого метода и дано его теоретическое обоснование.

Ключевые слова: термодинамические потенциалы, электростатический потенциал, химический потенциал, электронный газ, кристаллическая решетка.

1. Введение

Существует большое количество диагностических методов исследования свойств материалов и образцов. Но от взгляда исследователей пока ускользнул перспективный метод, основанный на исследовании электростатического потенциала таких образцов [1-4].

Большинство существующих диагностических методов контроля свойств и характеристик материалов и образцов основано на применении тех или иных внешних воздействий, которые могут изменить свойства исследуемых объектов. Особый интерес

представляют методы не разрушающего контроля, а также те методы, применение которых не требует воздействия на сами образцы. Исследование свойств материалов и образцов в зависимости от их температуры, давления, воздействия различного рода облучений, механических напряжений и динамика этих процессов, кинетика фазовых переходов представляет большой интерес. Рассмотрим метод, основанный на измерении электростатического потенциала образцов, дающий возможность проводить такие исследования простым способом.

В литературных источниках, в которых обсуждается вопрос о возможной зависимости заряда от скорости, утверждается, что зависимость величины заряда от этого параметра привела бы при нагревании проводников к увеличению их отрицательного потенциала. Именно это утверждение постоянно приводится как аргумент того, что заряд не может зависеть от скорости.

Если в какой-либо структуре сосуществует несколько термодинамических подсистем, то их химические потенциалы должны быть равны. В проводнике имеется две подсистемы: решетка и электронный газ. Электронный газ в проводниках при обычных температурах является вырожденным и подчиняется статистике Ферми-Дирака, его химический потенциал определяется из соотношения [5]

$$\mu = W_F \left(1 - \frac{\pi^2 (kT)^2}{12 W_F^2} \right), \quad (1)$$

где

$$W_F = \frac{h^2}{2m} \left(\frac{3n}{8\pi} \right)^{\frac{2}{3}} \quad (2)$$

есть энергия Ферми, h - постоянная Планка, а n и m - плотность электронов и их масса.

Из соотношений (1) и (2) видно, что химический потенциал электронного газа при понижении температуры увеличивается, достигая своего максимального значения при нулевой температуре. Он также зависит от плотности электронов.

электромметр с очень большим внутренним сопротивлением и начать образец охлаждать. При этом электромметр должен зарегистрировать

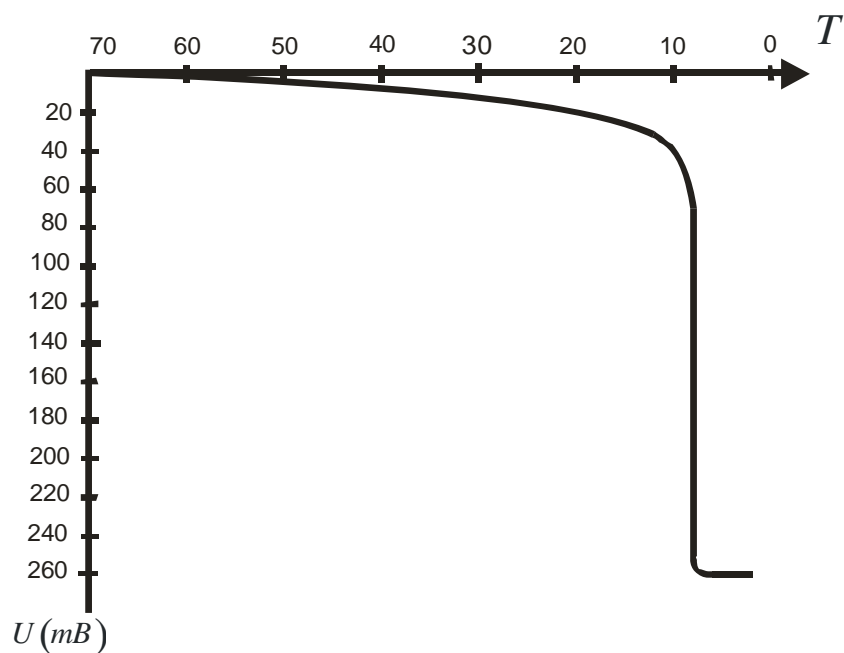


Рис. 1. Зависимость потенциала ниобий-титанового образца от температуры.

Видно, что при уменьшении температуры отрицательный потенциал растет сначала достаточно медленно, но в области температуры перехода образца в сверхпроводящее состояние наблюдается резкое падение потенциала.

Исследование влияния механических напряжений и кинетики дислокаций на электростатический потенциал образцов проводилось по следующей методике. Для этого медная колба с толщиной стенок ~ 3 мм. и объемом около 5 литров помещалась в вакуумную камеру, из которой мог откачиваться воздух. Торцевые стенки колбы были выполнены в виде полусфер. Внутренняя полость колбы при проведении экспериментов находилась под атмосферным давлением. Откачивая или напуская в вакуумную камеру воздух, можно было механически нагружать стенки колбы. Сама колба была отделена от вакуумной камеры втулкой из фторопласта и таким образом имела высокое сопротивление

относительно корпуса установки. Одна из типичных зависимостей, полученная при таких экспериментах, представлена на рис. 2. Видно, что амплитуда эффекта достигает 100 мВ, зависимость имеет сильный гистерезис, причем растяжению стенок колбы соответствует увеличение отрицательного потенциала. На рисунке обход по петле гистерезиса осуществлялся по часовой стрелке. Из полученных результатов следует, что механические напряжения образца приводят к возникновению на нём электростатического потенциала. Наличие гистерезиса указывает на то, что образование дислокаций тоже влияет на электризацию образца и носит необратимый характер. В данном случае необратимость влияния дислокаций на электризацию связана с тем, что дислокации могут, попадая в потенциальные ямы, закрепляться на неоднородностях кристаллической структуры.

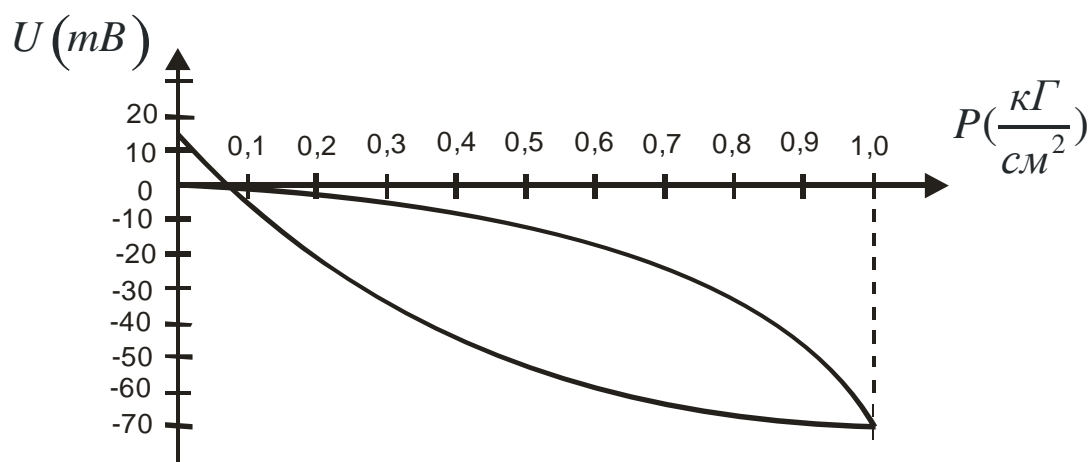


Рис. 2. Зависимость потенциала медной колбы от наружного давления.

Из проведенного рассмотрения следует, что и возникновение быстрых (ударных) механических нагрузок также должно приводить к возникновению на изолированном металлическом

образце импульсного потенциала. Этот вопрос исследовался на установке, схема которой приведена на Рис. 3

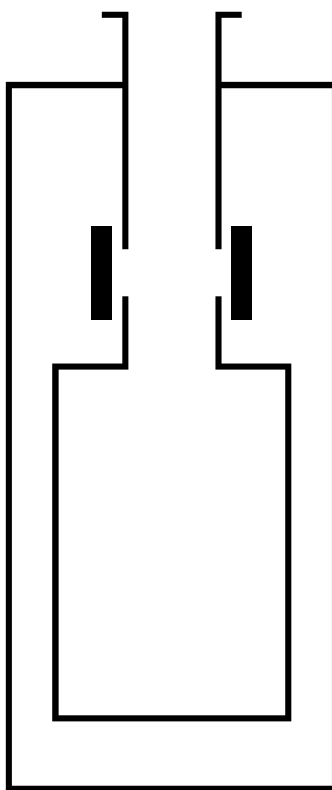


Рис.3. Схема установки для исследования возникновения импульсов электрического поля при ударных нагрузках.

К внешнему экрану при помощи широкой горловины подвешена внутренняя ёмкость. Для устранения гальванического контакта между внешним экраном и внутренней ёмкостью горловина имеет разрез. Разрозненные части горловины соединены изолирующими прокладками, которые на рисунке обозначены короткими чёрными отрезками линий. Внутренняя ёмкость изготовлена из алюминия в виде цилиндра, торцевые стенки которого выполнены в виде полусфер. Такая конструкция торцевых стенок необходима для того, чтобы избежать их деформации при осуществлении взрывов взрывчатки во внутренней ёмкости. Общий вид установки для

исследования динамических нагрузок на алюминиевую колбу и составные части установки показаны на Рис. 4 и Рис. 5.



Рис. 4. Общий вид установки для исследования динамических нагрузок.



Рис. 5. Вид установки в разобранном виде.

При вбрасывании в горловину стержня весом 200 г с высоты 1 м от дна колбы между внешним экраном и колбой наблюдается импульс напряжения, показанный на Рис. 6. Чтобы избежать появлению дополнительных импульсов при боковом падении стержня после удара его конца о дно колбы, боковая поверхность стержня обмотана мягкой тканью. Данные этого эксперимента соответствуют экспериментальным данным, полученным с медной колбой, когда её растяжение приводило к возникновению на колбе отрицательного потенциала. При ударе конца стержня о дно колбы также происходит локальная деформация её дна, при которой в месте удара происходит растяжение.

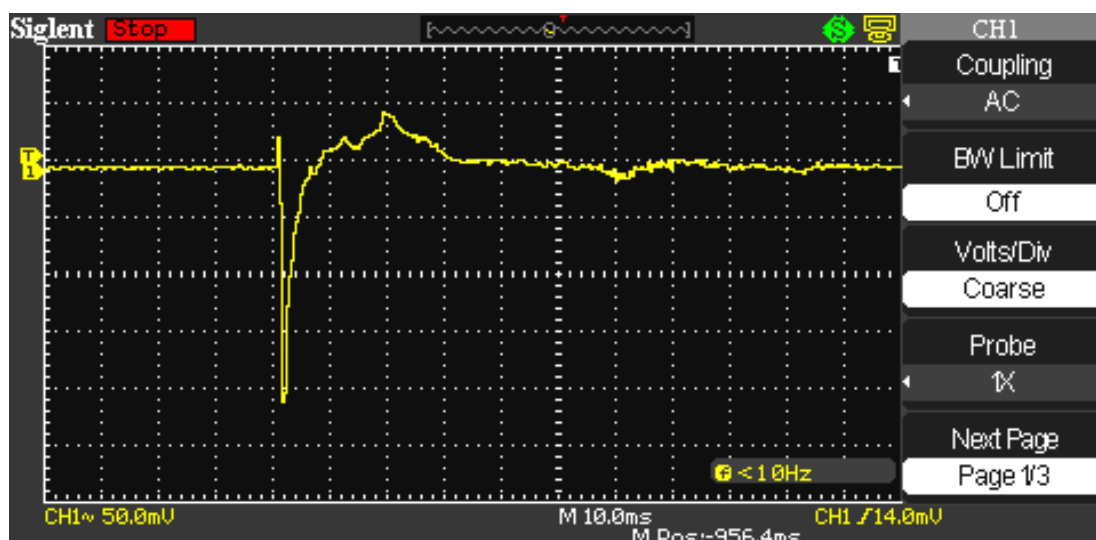


Рис. 6. Форма импульса после падения стержня на дно внутренней емкости.

Если внутри алюминиевой колбы взорвать заряд небольшой величины, то наблюдается импульс напряжения, показанный на Рис. 7.

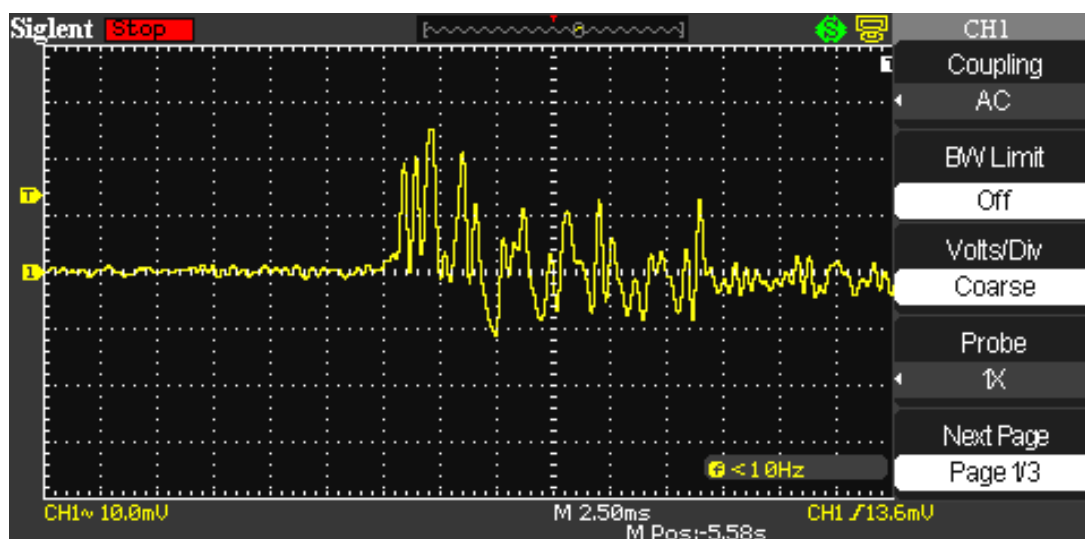


Рис. 7. Форма импульсов напряжения, полученная при взрыве взрывчатки в алюминиевой колбе.

Многократные повторяющиеся импульсы различной полярности, наблюдаемые на осциллограмме, являются следствием многократного отражения ударной волны от стенок колбы, приводящие к её деформации. Причём имеются импульсы соответствующие как растяжению стенок колбы, так и их сжатию. Полученные данные свидетельствуют о том, что данный метод может быть использован для исследования быстрых деформационных процессов в металлических образцах.

3. Заключение

В статье описан перспективный метод диагностики металлических образцов, основанный на исследовании электростатического потенциала таких образцов. Этот метод заключается в том, что при нагревании или деформации металлических образцов на них возникает электрический потенциал. В работе проведено экспериментальное исследование этого метода и дано его теоретическое обоснование.

Благодарности

Выражаю большую благодарность Игорю Алексеевичу Шурупову за помощь при изготовлении экспериментальной установки.

Литература

1. Менде Ф. Ф. Электрополевая спектроскопия. Инженерная физика.

2. F. F. Mende, Problems of modern physics and their solutions, PALMARIUM Academic Publishing, 2010.
3. F. F. Mende, The problem of contemporary physics and method of their solution, LAP LAMBERT Academic Publishing, 2013.
4. F. F. Mende. Electro Spectroscopy of Materials and Samples, *Journal of Materials Sciences and Applications Vol.1 , No. 2, 2015, pp. 70-77*
5. В. Г. Левич. Курс теоретической физики. М: Физматгиз, 1962.